



# رفع نویفه ویدئو توسط تبدیل قیچک قطعه‌ای

حجت باقرزاده<sup>۱</sup>، احمد هراتی<sup>۲\*</sup>، زهرا امیری<sup>۳</sup> و رجبعلی کامیابی گل<sup>۴</sup>

<sup>۱,۲</sup>گروه مهندسی کامپیوتر، دانشگاه فردوسی، مشهد، ایران

<sup>۳,۴</sup>گروه ریاضیات محض، دانشگاه فردوسی، مشهد، ایران

## چکیده

از روش‌های معمول در بهره‌برداری از نظام‌مندی‌ها و ویژگی‌های هندسی در سیگنال‌های چندبعدی می‌توان به استفاده از اتساع ناهمسان‌گرد<sup>۱</sup> و متفاوت‌بندی سه‌مومی<sup>۲</sup> اشاره کرد که اساس تبدیلاتی همانند قیچک<sup>۳</sup> و پیچک<sup>۴</sup> را شکل می‌دهند. در چنین تبدیل‌هایی تحلیل کاملی از سیگنال ورودی صورت می‌پذیرد که با رشد تعداد ابعاد<sup>۵</sup> داده، افزونگی آن به صورت نمایی زیاد شده و امکان پیاده‌سازی و استفاده عملی از آن‌ها را به شدت محدود می‌کند. در مقابل تبدیل‌های جداگانه پذیر هر بعد داده ورودی را جداگانه مورد پردازش قرار می‌دهند که منجر به نادیده‌گرفته شدن نظام‌مندی‌های چندبعدی آن خواهد شد. با توجه به برتری نسبی تبدیل قیچک در مواجهه با داده‌های گسسته و برای چیزهای بروشکلات پیچیدگی زمانی و افزونگی<sup>۶</sup> تبدیل قیچک کلاسیک در تحلیل داده‌های چندبعدی، در این مقاله ویراش جدیدی از تبدیل قیچک گسسته با قابلیت کنترل افزونگی ارائه می‌شود. بهیان دیگر با رویکرد جدید، به دنبال امکان برقراری مصالحه بهتر بین افزونگی تبدیل قیچک گسسته با میزان کامل بودن تحلیل و بهره‌برداری آن از نظام‌مندی‌های ورودی از سوی دیگر هستیم. در این راستا ماتریس اتساع به صورت قطری قطعه‌ای کاهش داده می‌شود که به معنای عملکرد مستقل تحلیل حاصل در زیرفضاهای متناظر با قطعه‌های مجزا خواهد بود. بدین ترتیب، شیوه تجزیه ماتریس اتساع به زیرقطعه‌ها، ابزار کنترلی متناسبی برای میزان افزونگی و پیچیدگی محاسباتی تبدیل حاصل به دست می‌دهد. به عنوان یک نمونه از کاربرد عملی رویکرد پیشنهادی، در این مقاله روشی برای رفع نویفه<sup>۷</sup> ویدئو با استفاده از تبدیل قیچک قطعه‌ای ارائه شده و با تبدیل قیچک کلاسیک دو و سه‌بعدی مقایسه می‌شود. نتایج حاکی از آن است که رویکرد پیشنهادی با مصرف جزئی از زمان و حافظه تبدیل سه‌بعدی افزایش کیفیت قابل توجهی نسبت به تبدیل دو‌بعدی می‌تواند ارائه کند.

وازگان کلیدی: ماتریس اتساع ناهمسان‌گرد، تبدیل پیچک، تبدیل قیچک چندبعدی، ماتریس اتساع قطری قطعه‌ای، رفع نویفه ویدئو.

## Video Denoising Using block Shearlet Transform

Hojjat Bagherzadeh<sup>1</sup>, Ahad Harati<sup>2\*</sup>, Zahra Amiri<sup>3</sup> & RajabAli KamyabiGol<sup>4</sup>

<sup>1,2</sup>Department of Computer Engineering, Ferdowsi University of Mashhad, Iran

<sup>3,4</sup>Faculty of Mathematical Sciences, Ferdowsi University of Mashhad, Iran

### Abstract

Parabolic scaling and anisotropic dilation form the core of famous multi-resolution transformations such as curvelet and shearlet, which are widely used in signal processing applications like denoising. These non-adaptive geometrical wavelets are commonly used to extract structures and geometrical features of multi-dimensional signals and preserve them in noise removal treatments. In discrete setups, it is shown that

<sup>1</sup> Anisotropic Dilations

<sup>5</sup> Dimensions

<sup>2</sup> Parabolic

<sup>6</sup> Redundancy

<sup>3</sup> Shearlets

<sup>7</sup> Denoising

<sup>4</sup> Curvelets

\* Corresponding author

\*\* نویسنده عهده دار مکاتبات

shearlets can outperform other rivals since in addition to scaling, they are formed by shear operator which can fully remain on integer grid. However, the redundancy of multidimensional shearlet transform exponentially grows with respect to the number of dimensions which in turn leads to the exponential computational and space complexity. This, seriously limits the applicability of shearlet transform in higher dimensions. In contrast, separable transforms process each dimension of data independent of other dimensions which result in missing the informative relations among different dimensions of the data.

Therefore, in this paper a modified discrete shearlet transform is proposed which can overcome the redundancy and complexity issues of the classical transform. It makes a better tradeoff between completeness of the analysis achieved by processing full relations among dimensions on one hand and the redundancy and computational complexity of the resulting transform on the other hand. In fact, how dilation matrix is decomposed and block diagonalized, gives a tuning parameter for the amount of inter dimension analysis which may be used to control computation complexity and also redundancy of the resultant transform.

In the context of video denoising, three different decompositions are proposed for 3x3 dilation matrix. In each block diagonalization of this dilation matrix, one dimension is separated and the other two constitute a 2D shearlet transform. The three block shearlet transforms are computed for the input data up to three levels and the resultant coefficients are treated with automatically adjusted thresholds. The output is obtained via an aggregation mechanism which combine the result of reconstruction of these three transforms. Using experiments on standard set of videos at different levels of noise, we show that the proposed approach can get very near to the quality of full 3D shearlet analysis while it keeps the computational complexity (time and space) comparable to the 2D shearlet transform.

**Keywords:** anisotropic dilation matrix, curvelet transform, multidimensional shearlet transform, block diagonal dilation matrix, video denoising

### جمع‌شونده استفاده می‌شود.

در طول سال‌های گذشته، سامانه‌های بازنمایی متغّرتوی برای انجام چنین تحلیل‌هایی ارائه شده‌اند. برای مثال، بر اساس اتساع ناهمسان‌گرد و مقیاس‌بندی سهموی تبدیلات پیچک و قیچک [7, 8, 9, 5, 2, 6] ارائه شده‌است که قابلیت تقریب بهینه توابع قطعه‌ای هموار<sup>۳</sup> را دارند. این سامانه‌ها علاوه بر پارامترهای مکان و مقیاس، پارامتر دیگری به نام جهت نیز دارند. در این بین، سامانه قیچک با توجه به قابلیت گسترش‌سازی مناسب‌تر نسبت به سایر سامانه‌های بازنمایی با مقیاس‌بندی سهموی، برتری دارد.

با توجه به حجم روزافزون داده‌های چندبعدی، روش‌های تحلیل و بازنمایی داده با استفاده از سامانه‌های بازنمایی برای بیشتر از دو بعد موردنویه قرار گرفته است. در همین راستا، مشکل اصلی تبدیل قیچک با توجه به ساختار افزونه آن، افزایش نمایی افزونگی به نسبت تعداد ابعاد داده است که منجر به افزایش بیش از حد پیچیدگی زمانی و حافظه‌ای می‌شود. در تبدیل قیچک چندبعدی کلاسیک بهزای هر بعد کلیه جهت‌ها و موقعیت‌ها در نظر گرفته می‌شود؛ به گونه‌ای که ابعاد ماتریس اتساع<sup>۴</sup> و برش<sup>۵</sup> برای هر بعد افزایش می‌یابد.

<sup>3</sup> Piecewise Smooth

<sup>4</sup> Dilation

<sup>5</sup> Shear

### ۱- مقدمه

سامانه‌های بازنمایی<sup>۱</sup> نقشی کلیدی در کارایی قابل حصول در کاربردهای پردازش تصویر مانند فشرده‌سازی [1, 2]، تجزیه به چند منبع [3, 4]، رفع نویفه [5, 6] و ... دارند. از شاخص‌ترین خصوصیات سامانه‌های بازنمایی که تاکنون مورد توجه بیشتر پژوهش‌گران بوده است به محلی‌بودن، مقیاس‌پذیری‌بودن، توانایی تطبیق مناسب جهت، قابلیت گسترش‌سازی و افزونگی مناسب می‌توان اشاره کرد. این ویژگی‌ها قابلیت ارائه تقریب‌های پراکنده و مناسب از توابع با نقاط تکین را بدست می‌دهند. سامانه‌های بازنمایی بایستی قادر باشند تا جای ممکن اطلاعات تصویر اصلی را فشرده و فقط با تعداد ضریب کمی بیان کنند تا توصیف و مدل‌سازی اطلاعات ساده شود. تبدیلات و روش‌های جدیدتر در این حوزه سعی دارند تا تغییرات سیگنال‌های چندبعدی را در سطح هندسی بالاتری از نقطه، یعنی در سطح خطوط و حجم مدل‌سازی کنند.

در این مقاله رفع نویفه ویدئو به عنوان مثالی از پردازش سیگنال‌های چندبعدی موربد بررسی قرار گرفته است. هدف از رفع نویفه ویدئو بهبود نمایش آن برای انسان است؛ به گونه‌ای که یک تخمين قابل قبول از ویدئوی اصلی از روی ویدئوی نویفه‌ای یا تخریب‌شده بدست آید. این مسئله یک نمونه از مسائل معکوس<sup>۲</sup> است که در آن به طور معمول از مدل نویفه

<sup>1</sup> Representation System

<sup>2</sup> Inverse Problems

خط<sup>۴</sup>) که بیشتر دارای کشیدگی مکانی هستند، دست می‌یابند.

خانواده موجک‌های هندسی در حوزه تصویر به دو گروه موجک‌های وققی<sup>۵</sup> و غیر وققی<sup>۶</sup> تقسیم می‌شوند. گروه تبدیلات وققی در حوزه تبدیلات جداناپذیر [10] با این جهت کلی صورت گرفته است که به جای ثابت بودن تبدیل بهازای تمام تصاویر، از اطلاعات جزئیات هندسه تصویر برای بیان پراکنده آن استفاده شود که از جمله به تبدیل گوک<sup>۷</sup>، تبدیل موجک جهتی<sup>۸</sup>، نوارک<sup>۹</sup> و ... می‌توان اشاره کرد.

در گروه موجک هندسی غیر وققی [11] از یک تابع پایه مجموعه‌ای از توابع در مقیاس‌ها، جهت‌ها و انتقال‌های مختلف تشکیل می‌شود که لغتنامه<sup>۱۰</sup> تبدیل را شکل می‌دهند. در ادامه شرحی مختصر از ایده‌های کلیدی موجود در تبدیل‌های هندسی غیر وققی ارائه می‌شود.

ساده‌ترین تبدیل در این گروه تیغک<sup>۱۱</sup> [12, 11] است که قابلیت بازنمایی تغییرات در طول خطوط صاف در جهات مختلف را دارد. تبدیل تیغک دوبعدی بر اساس تحلیل موجک در حوزه رادون ساخته می‌شود. تبدیل رادون<sup>۱۲</sup> گسستگی‌هایی در راستای خطوط را به گسستگی‌های نقطه‌ای نگاشت می‌کند؛ بنابراین تبدیل تیغک در واقع استفاده از تبدیل موجک یک‌بعدی روی قطعه‌های تبدیل رادون است. تبدیل تیغک فقط قادر به بازنمایی توابع دوبعدی هموار با گسستگی خطی است.

تبدیل جداناپذیر بعدی، تبدیل پیچک است که در سال ۲۰۰۲ توسط کندرس<sup>۱۳</sup> و دونوهو<sup>۱۴</sup> [7, 8, 9] و با هدف بازنمایی بهینه منحنی‌های هموار تصویر ارائه شد. ایده اصلی تبدیل پیچک پنجره‌بندی تصویر ورودی برای تبدیل انحنای موجود به صورت مجموعه‌ای از خطوط در زیربخش‌های تصویر است؛ سپس برای بیان هر خط از تبدیل پیچک استفاده می‌شود. نسخه دیگری از تبدیل پیچک با عنوان پیچک نسل دوم [13] نیز ارائه شده است. ثابت می‌شود این تبدیل بهازای یک تابع هموار دوبعدی با گسستگی منحنی از نقطه‌نظر توان

نکته حائز اهمیت در داده‌های چندبعدی این است که در بسیاری موارد، پیچیدگی داده به صورت نمایی رشد نکرده و به طور عمومی الگوهای اصلی داده در زیرفضاهای با ابعاد کمتر نیز توصیف می‌شوند. با توجه به این حقیقت، در این مقاله توسعه خاصی از تبدیل قیچک ارائه شده است؛ به گونه‌ای که با استفاده از ماتریس اتساع قطری بتوان توصیف داده در زیرفضاهای موردنظر را به دست آورد. تبدیل جدید با نقص اصلی سامانه قیچک کلاسیک در مواجهه با داده‌های با ابعاد بالا مقابله می‌کند. در تبدیل قیچک قطعه‌ای<sup>۱</sup> ماتریس اتساع به قطعه‌های کوچک‌تر متناظر با زیرفضاهای با ابعاد کمتر شکسته می‌شود و تبدیل مستقلی را روی هر قطعه ارائه می‌دهد.

ساختار مقاله بدین شکل است که در بخش دو کارهای مرتبط بیان و سپس در بخش سه نظریه قیچک دوبعدی و سه‌بعدی کلاسیک معرفی می‌شود. نظریه تبدیل قیچک قطعه‌ای و روش پیاده‌سازی آن در بخش چهار ارائه شده است و در بخش پنج نتایج تجربی و مقایسه تبدیل قیچک قطعه‌ای با سایر روش‌های موجود موردنرسی قرار می‌گیرد. تبدیل قیچک قطعه‌ای با کنترل میزان افزونگی در زمان بسیار کمتر نتایجی قابل رقابت با روش قیچک سه‌بعدی کلاسیک ارائه می‌دهد. در انتها نیز نتیجه‌گیری و کارهای آینده بیان می‌شود.

## ۲- کارهای مرتبط

هدف سامانه‌های بازنمایی تقریب بهینه توابع قطعه‌ای هموار است. در همین راستا برای مدل سازی بهتر تغییرات تصویر در سطح بالاتر از نقطه تبدیلاتی ارائه شد که به صورت پایه‌ای جدایی ناپذیر بوده‌اند، به گونه‌ای که توابع پایه این تبدیل‌ها به صورت دوبعدی می‌باشد. این خانواده موجک‌های هندسی نامیده می‌شوند. موجک‌های هندسی نخستین بار توسط دونوهو<sup>۱۵</sup> و گروهش در اوایل قرن بیست و یکم ارائه شد [7, 8, 9]. این مدل نوعی از تعمیم نظریه موجک کلاسیک است که علاوه بر پارامترهای مکان و مقیاس، پارامتر دیگری به نام جهت نیز با آن اضافه شده است. با توجه به اینکه موجک‌های هندسی از ابتدا به صورت دوبعدی تعریف شده‌اند، قادر هستند به صورت بهینه اطلاعات هندسه تصویر را استخراج کنند. موجک‌های هندسی با ازبین بردن ساختار همسان‌گرد<sup>۱۶</sup> عناصر موجک به بازنمایی بهتری از اطلاعات لبه‌های تصویر (تکینگی

<sup>4</sup> Line Singularity

<sup>5</sup> Adaptive

<sup>6</sup> Non-adaptive

<sup>7</sup> Wedglet

<sup>8</sup> Directionlet

<sup>9</sup> Bandelet

<sup>10</sup> Dictionary

<sup>11</sup> Ridglet

<sup>12</sup> Radon Transform

<sup>13</sup> Candes

<sup>1</sup> Block Shearlet Transform

<sup>2</sup> Donoho

<sup>3</sup> Isotropic

تمامی تبدیلات هندسی است، بنابراین سامانه آلفا مولکول ماتریس مقیاسی با رابطه زیر دارد:

$$\begin{pmatrix} s & 0 \\ 0 & s^\alpha \end{pmatrix}, s > 0 \quad (1)$$

که در آن پارامتر  $[0,1] \in \alpha$  است. برای سامانه موجک  $\alpha = 1$ ، برای سامانه‌های قیچک و پیچک  $1/2 = \alpha$  و برای سامانه‌تیغک  $0 = \alpha$  است.

### ۳- نظریه قیچک کلاسیک

رهیافت قیچک یک روش کلی برای ساخت سامانه‌های تابعی بر اساس توابع متغیر است که این توابع نه تنها در مقیاس و موقعیت تغییر می‌کند، بلکه در انتقال‌های قطری کنترل شده با ماتریس قیچک نیز تغییرات دارد. در تبدیل قیچک با توجه به اینکه از ماتریس برش‌زنی استفاده شده است، مدل شبکه مختصات گسسته حفظ می‌شود و تبدیل قابلیت نگاشت مستقیم از پیوسته به گسسته را دارد. نظریه موجک‌های مرکب روش مؤثری از ترکیب هندسه و تحلیل چندمقیاسی براساس نظریه سامانه‌های هم‌رفت<sup>۴</sup> ارائه می‌دهد. تبدیل قیچک حالت خاصی از نظریه موجک‌های مرکب است که در دو بعد با رابطه زیر بیان می‌شود:

$$A_{AB}(\psi) = \{\psi_{j,l,k}(x) = |\det A|^{\frac{j}{2}}\psi(B^l A^j x - k) : j, l \in \mathbb{Z}, k \in \mathbb{Z}^2\} \quad (2)$$

$\psi \in L^2(\mathbb{R}^2)$  و  $A$  و  $B$  ماتریس‌های معکوس‌پذیر  $|\det B| = 1$  است.  $A$  ماتریس اتساع ناهمسان‌گرد و  $B$  ماتریس برش و  $(\cdot)\psi$  تابع پایه تبدیل قیچک است. همچنین  $(\psi)$  یک قاب پارسوال یا قاب چسبان<sup>۵</sup> در  $L^2(\mathbb{R}^2)$  به فرم زیر تشکیل می‌دهد.

$$\sum_{j,l,k} |(f, \psi_{j,l,k})|^2 = \|f\|^2 \quad (3)$$

در ادامه نظریه قیچک‌های دوبعدی [15] و سه‌بعدی [6] مخروطی بهطور خلاصه معرفی می‌شوند.

### ۱- تبدیل قیچک دوبعدی

نمونه خاصی از موجک مرکب در فضای  $L^2(\mathbb{R}^2)$  پیچک دوبعدی مخروطی است [15] که در آن  $A = A_0, A_1$

تقریب (تعداد ضرایب بزرگی که احنا را حس می‌کنند) رفتار نزدیک بهینه دارد.

تبدیل قیچک برای نخستین بار در سال ۲۰۰۵ توسط کوتینیوک<sup>۶</sup> و گروهش [5, 14] معرفی شد. این تبدیل از یک تابع قیچک اصلی که در فضای کارتزین تعریف شده استفاده می‌کند. این تابع پارامترهای مقیاس، برش و انتقال دارد که پارامتر برش آن جهت گسستگی‌ها را بیان می‌کند. از ویژگی‌های مهم این تبدیل به بازنمایی پراکنده بهینه برای داده‌های چندبعدی و رفتار یکسان در ویرایش گسسته و پیوسته آن می‌توان اشاره کرد. به لحاظ نظری نشان داده شده است که مشابه پیچک این تبدیل نیز تقریب بهینه‌ای در مواجهه با تصاویر هموار با گسستگی‌های منحنی ارائه می‌دهد. همچنین قابلیت انتخاب جهت‌دار در سامانه بازنمایی قیچک الگوریتم‌های قابل قبول برای تشخیص و تحلیل لبه ارائه می‌دهد [15]. نسخه اولیه تبدیل قیچک که برای پردازش تصاویر و در فضای  $L^2(\mathbb{R}^2)$  ارائه شده بود، توسط دهکده<sup>۷</sup> توسعه یافته [16] و نسخه‌های چندبعدی آن برای سیگنال‌های چندبعدی به وجود آمده است. مثالی کاربردی از توسعه چندبعدی پیاده‌سازی سه‌بعدی آن برای رفع نوکه ویدئو است که تقریب پراکنده محلی از داده سه‌بعدی با تکینگی از درجه دو می‌دهد.

برخلاف ساختارهای متفاوت تبدیلات مانند قیچک و پیچک، در تمامی تبدیلهای ناهمسانگرد که بر اساس مقیاس‌بندی سه‌مومی هستند، پارامتر مقیاس برای میزان مقیاس‌گذاری، ناهمسان‌گرد زاویه برای جهت مشخص شده و پارامتر انتقال برای موقعیت مکانی عنصر این نوع تبدیلهای تعریف می‌شوند؛ بنابراین یک سامانه از مولکول‌های سه‌مومی به صورت یک مجموعه از توابع با استفاده از انسپاس سه‌مومی، چرخش و انتقال تعریف می‌شود [17].

هر عنصر در سامانه مولکول سه‌مومی متناظر با یک مقیاس، جهت و موقعیت مکانی خاصی است که اساس محلی‌سازی فرکانس-زمان، ویژگی‌ها و عملکرد این سامانه را تعیین می‌کند. ایده کلی در نسل بعدی یا سامانه آلفا مولکول با مقیاس آلفا<sup>۸</sup> گسترش سامانه مولکول سه‌مومی است که در آن  $\alpha \in [0,1]$  و مشخص‌کننده درجه ناهمسان‌گردبودن مقیاس است [18]. بدین ترتیب روش مقیاس آلفا علاوه‌بر تبدیلهای سه‌مومی، تبدیلهای نظیر تیغک و موجک را نیز شامل می‌شود. هدف کلی، توسعه یک چارچوب کاری برای

<sup>1</sup> Kutytiok

<sup>2</sup> Dahlke

<sup>3</sup> Alpha-Scaling ( $\alpha$  – Scaling)

$$\{\varphi_k : k \in \mathbb{Z}^2\} \cup \{\psi_{j,l,k}^{(d)} : j \geq 0, -2^j + 1 \leq l \leq 2^j - 2, k \in \mathbb{Z}^2, d = 0, 1\} \cup \{\tilde{\psi}_{j,l,k}^{(d)} : j \geq 0, l = -2^j, 2^j - 1, k \in \mathbb{Z}^2, d = 0, 1\} \quad (14)$$

مجموعه عناصر متناظر با محدوده فرکانس پایین در حوزه فرکانس  $\psi_{j,l,k}^{(d)}$  مجموعه عناصر متناظر با محدوده فرکانس بالا در حوزه فرکانس  $\tilde{\psi}_{j,l,k}^{(d)}$  مجموعه عناصر متناظر با عناصر مرزی در حوزه فرکانس است. صورت گسته عناصر مخروطهای محدوده فرکانس بالا یا همان توابع پنجره‌ای جهت‌دار در سامانه قیچک ارائه شده با روابط زیر تعریف می‌شود:

برای مخروط افقی

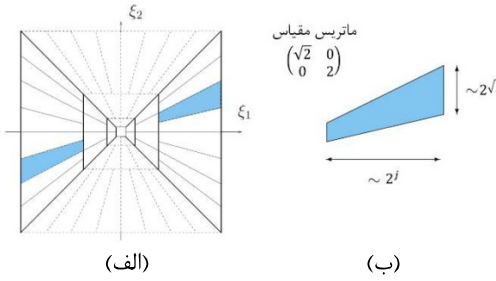
(15)

$$W_{j,l}^{(0)}(\xi) = \begin{cases} \hat{\psi}_2 \left( 2^j \frac{\xi_2}{\xi_1} - l \right) \chi_{D_0}(\xi) + \hat{\psi}_2 \left( 2^j \frac{\xi_1}{\xi_2} - l + 1 \right) \chi_{D_1}(\xi) & l = -2^j \text{ کم} \\ \hat{\psi}_2 \left( 2^j \frac{\xi_2}{\xi_1} - l \right) \chi_{D_0}(\xi) + \hat{\psi}_2 \left( 2^j \frac{\xi_1}{\xi_2} - l - 1 \right) \chi_{D_1}(\xi) & l = 2^j - 1 \text{ بیش} \\ \hat{\psi}_2 \left( 2^j \frac{\xi_2}{\xi_1} - l \right) & \text{در غیر اینصورت} \end{cases}$$

و برای مخروط عمودی

(16)

$$W_{j,l}^{(1)}(\xi) = \begin{cases} \hat{\psi}_2 \left( 2^j \frac{\xi_2}{\xi_1} - l + 1 \right) \chi_{D_0}(\xi) + \hat{\psi}_2 \left( 2^j \frac{\xi_1}{\xi_2} - l \right) \chi_{D_1}(\xi) & l = -2^j \text{ کم} \\ \hat{\psi}_2 \left( 2^j \frac{\xi_2}{\xi_1} - l - 1 \right) \chi_{D_0}(\xi) + \hat{\psi}_2 \left( 2^j \frac{\xi_1}{\xi_2} - l \right) \chi_{D_1}(\xi) & l = 2^j - 1 \text{ بیش} \\ \hat{\psi}_2 \left( 2^j \frac{\xi_2}{\xi_1} - l \right) & \text{در غیر اینصورت} \end{cases}$$



(شکل-۱): (الف) کاشی کاری صفحه فرکانسی  $\mathbb{R}^2$  که توسط قیچک ایجاد شده است. افزار مخروط  $D_0$  با خطوطی ثابت نمایش داده شده و افزار مخروط  $D_1$  با خط‌چین نمایش داده شده است.

(ب) تکیه‌گاه فرکانس یک قیچک  $\psi_{j,l,k}$  را که در مقیاس بندی سهموی صدق می‌کند، نشان می‌دهد.

(Figure-1): (a) Tiling of frequency plane  $\mathbb{R}^2$  induced by shearlet. The solid line is  $D_0$  cone and the dashed line is  $D_1$  cone. (b) Frequency support of shear  $\psi_{j,l,k}$ .

که در آن  $l = -2^j, \dots, 2^j - 1$  and  $j \geq 0$  است. نواحی مخروطی است که در بخش قبل تعریف

ماتریس‌های انساع ناهمسان گرد و  $B = B_0, B_1$  ماتریس‌های برش است (معادله ۴). اجزای موجک مرکب در سامانه قیچک دو بعدی با روابط مقابل تعريف می‌شوند. برای مخروط نخست داریم:

$$A_0 = \begin{pmatrix} 2 & 0 \\ 0 & \sqrt{2} \end{pmatrix}, B_0 = \begin{pmatrix} 1 & 1 \\ 0 & 1 \end{pmatrix} \quad (4)$$

$$\hat{\psi}^{(0)}(\xi) = \hat{\psi}^{(0)}(\xi_1, \xi_2) = \hat{\psi}_1(\xi_1) \hat{\psi}_2 \left( \frac{\xi_2}{\xi_1} \right) \quad (5)$$

$$\xi = (\xi_1, \xi_2) \in \mathbb{R}^2 \text{ and } \xi_1 \neq 0 \quad (6)$$

$$\begin{aligned} \hat{\psi}_1, \hat{\psi}_2 &\in C^\infty(\mathbb{R}) \\ \text{supp } \hat{\psi}_1 &\subset \left[ -\frac{1}{2}, -\frac{1}{16} \right] \cup \left[ \frac{1}{16}, \frac{1}{2} \right] \\ \text{supp } \hat{\psi}_2 &\subset [-1, 1] \end{aligned} \Rightarrow \hat{\psi}^{(0)} \in C^\infty, \text{supp } \hat{\psi}^{(0)} \subset \left[ -\frac{1}{2}, \frac{1}{2} \right]^2 \quad (7)$$

$$\psi_{j,l,k}^{(0)}(x) = 2^{\frac{3j}{2}} \psi^{(0)}(B_0^t A_0^j x - k) \quad (8)$$

$$j \geq 0, -2^j \leq l \leq 2^j - 1, k \in \mathbb{Z}^2$$

ناحیه قابل تعريف برای مخروط اول:

$$D_0 = \{(\xi_1, \xi_2) \in \mathbb{R}^2 : |\xi_1| \geq \frac{1}{8}, \left| \frac{\xi_2}{\xi_1} \right| \leq 1\} \quad (9)$$

درنتیجه توابع  $\{\hat{\psi}^{(0)}(\xi A_0^{-j} B_0^{-l})\}$  یک کاشی<sup>۱</sup> از مخروط  $D_0$  را می‌سازد که در شکل (۱) نشان داده شده است. همچنین برای مخروط دوم داریم:

$$A_1 = \begin{pmatrix} \sqrt{2} & 0 \\ 0 & 2 \end{pmatrix}, B_1 = \begin{pmatrix} 1 & 0 \\ 1 & 1 \end{pmatrix} \quad (10)$$

$$\hat{\psi}^{(1)}(\xi) = \hat{\psi}^{(1)}(\xi_1, \xi_2) = \hat{\psi}_1(\xi_1) \hat{\psi}_2 \left( \frac{\xi_2}{\xi_1} \right) \quad (11)$$

$$\psi_{j,l,k}^{(1)}(x) = 2^{\frac{3j}{2}} \psi^{(1)}(B_1^t A_1^j x - k) \quad (12)$$

$$j \geq 0, -2^j \leq l \leq 2^j - 1, k \in \mathbb{Z}^2$$

$$D_1 = \{(\xi_1, \xi_2) \in \mathbb{R}^2 : |\xi_2| \geq \frac{1}{8}, \left| \frac{\xi_1}{\xi_2} \right| \leq 1\} \quad (13)$$

با تعريف  $SH(\varphi, \psi, \tilde{\psi})$   $\varphi_k(x) = \varphi(x - k)$  به صورت زیر تعريف می‌شود:

<sup>1</sup> Tiling

$F_{(d)} = \sqrt{\hat{\phi}^2(2^{-2j}\xi) - \hat{\psi}^2(\xi)}$  که در آن  $\hat{\phi}$  و  $\hat{\psi}$  توابع  $W(\xi)$  هستند. به شرح زیر است:

$$\begin{aligned} F_{(1)}(\xi_1, \xi_2, \xi_3) &= V\left(\frac{\xi_2}{\xi_1}\right) V\left(\frac{\xi_3}{\xi_1}\right) \\ F_{(2)}(\xi_1, \xi_2, \xi_3) &= V\left(\frac{\xi_1}{\xi_2}\right) V\left(\frac{\xi_3}{\xi_2}\right) \\ F_{(3)}(\xi_1, \xi_2, \xi_3) &= V\left(\frac{\xi_1}{\xi_3}\right) V\left(\frac{\xi_2}{\xi_3}\right) \end{aligned} \quad (23)$$

بنابراین سیستم قیچک سه بعدی  $SH(\varphi, \psi, \tilde{\psi})$  برای  $L^2(\mathbb{R}^3)$  به صورت مجموعه زیر می باشد.

(24)

$$\begin{aligned} \{\phi_{-k}: k \in \mathbb{Z}^3\} \cup \{\tilde{\psi}_{j,l,k}: j \geq 0, l_1, l_2 = \pm 2^j, k \in \mathbb{Z}^3\} \cup \\ \{\psi_{j,l,k}^{(d)}: j \geq 0, |l_1| < 2^j, |l_2| \leq 2^j, k \in \mathbb{Z}^3, d = 1, 2, 3\} \end{aligned}$$

مجموعه عناصر متناظر با محدوده فرکانس پایین در حوزه فرکانس،  $\psi_{j,l,k}^{(d)}$  مجموعه عناصر متناظر با مخروطهای محدوده فرکانس بالا در حوزه فرکانس و  $\tilde{\psi}_{j,l,k}$  مجموعه عناصر متناظر با عناصر مرزی در حوزه فرکانس می باشند.

صورت گستته عناصر مخروطهای محدوده فرکانس بالا یا همان توابع پنجرهای جهتدار در سیستم قیچک ارائه شده با رابطه زیر تعریف می شود:

(25)

$$U_{j,l}^{(1)}(\xi) = \begin{cases} V\left(2^j \frac{\xi_2}{\xi_1} - l_1\right) V\left(2^j \frac{\xi_3}{\xi_1} - l_2\right) & |l_1|, |l_2| < 2^j \\ V\left(2^j \frac{\xi_2}{\xi_1} - l_1\right) V\left(2^j \frac{\xi_3}{\xi_2} - l_2\right) \chi_{P_1}(\xi) & l_1 = \pm 2^j, |l_2| < 2^j \\ +V\left(2^j \frac{\xi_2}{\xi_2} - l_1\right) V\left(2^j \frac{\xi_3}{\xi_2} - l_2\right) \chi_{P_2}(\xi) & \\ V\left(2^j \frac{\xi_2}{\xi_1} - l_1\right) V\left(2^j \frac{\xi_3}{\xi_1} - l_2\right) \chi_{P_1}(\xi) & \\ +V\left(2^j \frac{\xi_1}{\xi_2} - l_1\right) V\left(2^j \frac{\xi_3}{\xi_2} - l_2\right) \chi_{P_2}(\xi) & l_1, l_2 = \pm 2^j \\ +V\left(2^j \frac{\xi_1}{\xi_3} - l_1\right) V\left(2^j \frac{\xi_2}{\xi_3} - l_2\right) \chi_{P_3}(\xi) & \end{cases}$$

در نظر داشته باشید که عناصر  $U_{j,l}^{(1)}$  با اندیس  $|l_1|, |l_2| < 2^j$  به طور کامل در ناحیه  $P_1$  هستند. عناصر با اندیس  $l_1 = \pm 2^j$  یا  $l_2 = \pm 2^j$  در ناحیه مقابل  $P_1$  و ناحیه هرمی دیگر قرار دارند. برای راحتی کار، این خانواده از توابع را با اندیس ۱ نام‌گذاری می کنیم. توابع  $U_{j,l}^{(2)}$  و  $U_{j,l}^{(3)}$  متناظر با نواحی  $P_2$  و  $P_3$  به روشن مشابه تعریف می شوند (شکل ۲).

شده است و  $\hat{\psi}_2$  تابع عملگر برش در فضای فرکانسی است. برای  $1-2^j \leq l \leq 2^j$  هر ترم از  $(\xi)$   $W_{j,l}^{(d)}$  یک تابع پنجره محلی روی یک جفت ذوزنقه همانند شکل ۱-الف است. زمانی که  $l = -2^j$  or  $l = 2^j$  است یعنی در تقاطع مخروط افقی  $D_0$  و مخروط عمودی  $D_1$  ادغام هر دو تابع است.

### ۳-۲- تبدیل قیچک سه بعدی

به طور مشابه در تبدیل قیچک سه بعدی [۶] ماتریس های مقیاس و برش به صورت زیر تعریف می شوند:

(17)

$$A_{(1)} = \begin{pmatrix} 4 & 0 & 0 \\ 0 & 2 & 0 \\ 0 & 0 & 2 \end{pmatrix}, A_{(2)} = \begin{pmatrix} 2 & 0 & 0 \\ 0 & 4 & 0 \\ 0 & 0 & 2 \end{pmatrix}, A_{(3)} = \begin{pmatrix} 2 & 0 & 0 \\ 0 & 2 & 0 \\ 0 & 0 & 4 \end{pmatrix}$$

(18)

$$B_{(1)}^{[l]} = \begin{pmatrix} 1 & l_1 & l_2 \\ 0 & 1 & 0 \\ 0 & 0 & 1 \end{pmatrix}, B_{(2)}^{[l]} = \begin{pmatrix} 1 & 0 & 0 \\ l_1 & 1 & l_2 \\ 0 & 0 & 1 \end{pmatrix}, B_{(3)}^{[l]} = \begin{pmatrix} 1 & 0 & 0 \\ 0 & 1 & 0 \\ l_1 & l_2 & 1 \end{pmatrix}$$

در سه بعد افزای فضای فوریه  $\widehat{\mathbb{R}}^3$  همانند شکل (۲) با ترکیب نواحی هرمی  $P_1, P_2, P_3$  به دست می آید.

$$\begin{aligned} P_1 &= \{(\xi_1, \xi_2, \xi_3) \in \mathbb{R}^3: |\frac{\xi_2}{\xi_1}| \leq 1, |\frac{\xi_3}{\xi_1}| \leq 1\} \\ P_2 &= \{(\xi_1, \xi_2, \xi_3) \in \mathbb{R}^3: |\frac{\xi_1}{\xi_2}| \leq 1, |\frac{\xi_3}{\xi_2}| \leq 1\} \\ P_3 &= \{(\xi_1, \xi_2, \xi_3) \in \mathbb{R}^3: |\frac{\xi_1}{\xi_3}| \leq 1, |\frac{\xi_2}{\xi_3}| \leq 1\} \end{aligned} \quad (19)$$

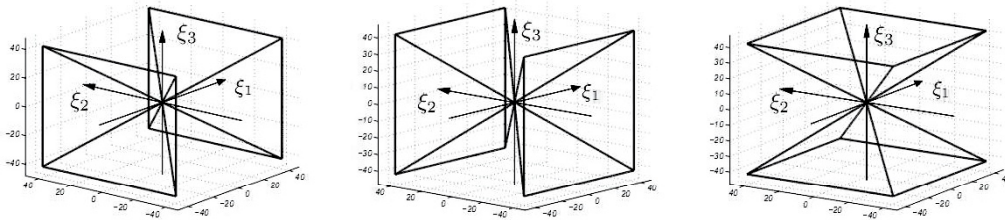
برای تعریف سامانه قیچک، تابع تک متغیره  $\phi \in C^\infty$  در نظر می گیریم به گونه ای که برای  $0 \leq \hat{\phi} \leq 1$  در بازه  $[-\frac{1}{16}, \frac{1}{16}]$  مقدار  $\hat{\phi} = 1$  بوده و در خارج بازه  $[-\frac{1}{8}, \frac{1}{8}]$  مقدار  $\hat{\phi} = 0$  خواهد بود. درنتیجه  $\phi$  یک تابع مقیاس از نوع موجک می باشد که تغییر مقیاس یافته و  $\phi(\xi) \in \widehat{\mathbb{R}}^3$  در نظر می گیریم. تابع  $\hat{\phi}(\xi)$  برای  $\hat{\phi}(\xi_1, \xi_2, \xi_3) = (\xi_1, \xi_2, \xi_3)$  در نظر می گیریم.

$$\hat{\phi}(\xi) = \hat{\phi}(\xi_1, \xi_2, \xi_3) = \hat{\phi}(\xi_1)\hat{\phi}(\xi_2)\hat{\phi}(\xi_3) \quad (20)$$

همچنین برای  $d = 0, 1, 2$  و  $(l_1, l_2) = (l_1, l_2)$  تابع سه بعدی  $\psi_{j,l,k}^{(d)}$  متناظر با نواحی هرمی  $P_d$  به صورت زیر تعریف می شود:

$$\{\psi_{j,l,k}^{(d)}: j \geq 0, -2^j \leq l_1, l_2 \leq 2^j, k \in \mathbb{Z}^3\} \quad (21)$$

$$\begin{aligned} \hat{\psi}_{j,l,k}^{(d)}(\xi) &= |\det A_{(d)}|^{-\frac{j}{2}} W(2^{-2j}\xi) \\ F_{(d)}\left(\xi A_{(d)}^{-j} B_{(d)}^{[-l]}\right) e^{-2\pi \xi A_{(d)}^{-j} B_{(d)}^{-l} k} \end{aligned} \quad (22)$$



(شکل-۲): نمایشی از نواحی هرمی در فضای فرکانس  $\mathbb{R}^3$ . نواحی از چپ به راست به ترتیب  $P_1$ ,  $P_2$ ,  $P_3$  می‌باشند. باز چاپ شده از [۱۶]  
(Figure-2): From left to right, the figure illustrates the pyramidal regions  $P_1$ ,  $P_2$ ,  $P_3$  in the frequency space  $\mathbb{R}^3$ . Reprinted from [16]

تحلیل است که نتایج موجود از این تبدیل نشان می‌دهد با وجود سرعت و ساده‌بودن تبدیل نسبت به مدل قبلى، الگوریتم کارایی لازم را نداشته و نتایج، قابل قبول نمی‌باشند؛ بنابراین این گونه می‌توان بیان کرد که بین میزان ارتباط ابعاد به معنی میزان پیچیدگی داده و عملکرد قابل قبول الگوریتم موازن‌های برقرار است که مدل‌های اشاره شده در دو طرف این موازنه قرار گرفته‌اند.

به عنوان نقطه تعادل یا موازنه بهتر بین پیچیدگی تبدیل و عملکرد آن، روابط بین بعدی را به جای اینکه برای تمامی ابعاد در نظر بگیریم، برای زیرمجموعه‌هایی با ابعادی کمتر از ابعاد داده اصلی بیان و از بعضی از روابط بین بعدی صرف‌نظر می‌کنیم. در همین راسته تبدیل قیچک قطعه‌ای که در این مقاله ارائه می‌شود، روشی است که در آن زیرفضاهای با ابعاد کمتر از ابعاد اصلی داده در نظر گرفته شده و در هر زیرفضا تبدیل به صورت مستقل پیاده‌سازی می‌شود. رهیافت جدید پیشنهادی در موازنه به‌گونه‌ای عمل می‌کند که با وجود کاهش میزان پیچیدگی، عملکردی نزدیک به روش‌های تحلیل کامل ارائه می‌دهد. می‌توان عنوان کرد که با درنظر گرفتن اندازه قطعه به صورت محدود شده، پیچیدگی محاسباتی تبدیل نسبت خطی با افزایش ابعاد داده خواهد داشت.

به طور خاص به عنوان کاربردی برای تبدیل قیچک قطعه‌ای رفع نویفه تصاویر ویدئویی را در نظر گرفته‌ایم تا بتوان عملکرد این تبدیل را با سایر روش‌های متدالو در این حوزه مقایسه کرد. تصاویر ویدئویی که توالی فریم‌ها در زمان است به عنوان یک داده سه‌بعدی در نظر گرفته می‌شود و برای سادگی در پیاده‌سازی این داده به صورت مکعب فرض می‌شود، به‌گونه‌ای که تعداد پیکسل‌ها در طول و عرض تصویر برابر با تعداد فریم‌ها در طول زمان است.

با توجه به اینکه ابعاد اصلی داده ویدئو سه است، تنها ترکیب زیرقطعه‌ها به صورت (2,1) است؛ بدین معنی که ماتریس اتساع قطعه‌ای-قطری را به صورت یک قطعه  $2 \times 2$

#### ۴- تبدیل قیچک قطعه‌ای

همان‌طورکه در بخش قبل نیز مطرح شد تبدیلهای هندسی تحلیلی کامل شامل جهت، مقیاس و انتقال را به‌ازای تمامی ابعاد داده ارائه می‌دهند که این خود منجر به رشد نمایافروزنگی داده با افزایش ابعاد آن و لذا افزایش پیچیدگی زمانی و حافظه‌ای تبدیل می‌شود. از طرف دیگر در کاربردهای مهندسی به‌دلیل نیاز به خاصیت پایایی انتقال<sup>۱</sup> ترجیح به استفاده از تبدیلهای چندمقیاسی بدون مرحله زیرنمونه‌گیری<sup>۲</sup> است؛ بنابراین در عمل پیچیدگی حافظه‌ای و افزونگی داده این گونه تبدیلهای از یک طرف با تعداد ابعاد و از طرف دیگر با تعداد مراحل تجزیه افزایش نمایی دارد که به تفصیل در قسمت بعد مورد بحث قرار خواهد گرفت. درنتیجه استفاده کاربردی از این نوع تبدیلهای با توجه به زمان اجرا و نیاز گسترده به حافظه برای داده‌های با ابعاد بالا بسیار محدود خواهد ماند.

به‌طور کلی می‌توان بیان داشت که در بیشتر داده‌ها، نظاممندی‌های موجود بین بعدها بر اساس کلیه بعدها نبوده و به راحتی ساختارهای موجود در داده را در زیرفضاهایی با ابعاد کمتر از داده اصلی نیز می‌توان بیان کرد؛ بنابراین از دو منظر، تحلیل چنین داده‌هایی را می‌توان بررسی کرد.

از یک طرف تحلیلی می‌توان ارائه کرد که متناظر با ابعاد داده بوده و تمامی روابط بین بعدی را در نظر بگیرد که این خود منجر به افزایش پیچیدگی‌های تحلیل می‌شود. برخلاف این که بررسی‌ها عملکرد خوب این روش را بیان می‌کنند، اما با توجه به افزونگی و پیچیدگی سامانه در عمل کارایی نخواهد داشت.

از طرف دیگر می‌توان به‌طور کل از روابط بین بعدی صرف‌نظر کرده و تجزیه مستقلی برای ابعاد داده ارائه کرد. تبدیل موجک کلاسیک جدایی‌پذیر نمونه‌ای از این مدل

<sup>1</sup> Shift Invariance

<sup>2</sup> Subsampling



شکل-۳(۳): نمونه‌های از برش‌های دوبعدی از ورودی سه‌بعدی منتظر با تجزیه‌های مختلف از ماتریس اتساع در هر آنالیز (Figure-3): Examples of 2D cuts from the 3D input cube corresponding to decompositions of the dilation matrix in each analysis.

- ضرایب تجزیه قیچک قطعه‌ای به صورت زیر محاسبه می‌شود.

$$\sum_{\mu_r} c_{\mu_r}(y) \psi_{\mu_r}, \sum_{\mu'_r} c_{\mu'_r}(y) \gamma_{\mu'_r} \quad (28)$$

که در آن  $\langle y, \psi_{\mu_r}(y) \rangle = \langle y, \psi_{\mu_r}(y) \rangle$  ضرایب ماتریس قیچک  $2 \times 2$  را تشکیل می‌دهد و  $\mu_r$  نشان‌دهنده انتقال، برش و مقیاس است. همچنین  $\langle y, \gamma_{\mu'_r}(y) \rangle = \langle y, \gamma_{\mu'_r}(y) \rangle$  ضرایب ماتریس موجک  $1 \times 1$  را نشان می‌دهد و  $\mu'_r$  نشان‌دهنده انتقال مقیاس است. و  $r$  مشخص‌کننده اندیس قطعه قیچک است. ( $r \in \{xy, xt, yt\}$ ).

- ضرایب پس از محاسبه در فضای قیچک جدید در هر مقیاس/جهت  $r$  با استفاده از روش آستانه‌گذاری  $T_r$  تغییر می‌یابد.

$$c_r^*(y) = \begin{cases} c_r(y) & |c_r(y)| > T_r \\ 0 & \text{در غیر این صورت} \end{cases} \quad (29)$$

مقدار  $T_r$  آستانه معروف  $3\sigma$  است که بر اساس سطح نویز محاسبه می‌شود [1]. این مقدار آستانه از رابطه  $T_r = \frac{\sigma^2}{s_r}$  محاسبه می‌شود که در آن  $\sigma$  انحراف معیار استاندارد ضرایب قیچک از نویه در  $r$ -امین سطح مقیاس-جهت بوده و  $\sigma^2$  مقدار واریانس استاندارد نویه است.

- در انتهای تقریب  $\tilde{f}$  از سیگنال ورودی  $f$  به دست می‌آید.

$$\tilde{f} = \sum_{r \in \{xy, xt, yt\}} \omega_r \sum_{\mu} c_r^*(y) \Psi_r \quad (30)$$

در کنار یک قطعه  $1 \times 1$  درنظر می‌گیریم، این تجزیه در حقیقت تحلیل جزئی سریعی را اجرا می‌کند که ممکن است تمامی ساختارهای داده ورودی را استخراج نکند. درنتیجه برای جبران کمبود تحلیل بین بعد جداشده و دو بعد دیگر، این تحلیل ساده‌شده را سه بار منتظر با سه گروه‌بندی مختلف از داده‌های ورودی تکرار می‌کنیم.

$$\begin{aligned} A_{xy} &= \begin{matrix} x & y & t \\ y & \begin{bmatrix} a_r & 0 \\ 0 & \sqrt{a_r} \end{bmatrix} & 0 \\ t & 0 & [b] \end{matrix} \\ A_{yt} &= \begin{matrix} x & y & t \\ y & \begin{bmatrix} [b] & 0 & 0 \\ 0 & [a_r & 0 \\ 0 & 0 & \sqrt{a_r}] \end{bmatrix} & \\ t & 0 & \end{matrix} \\ A_{xt} &= \begin{matrix} x & y & t \\ t & \begin{bmatrix} a_r & 0 \\ 0 & \sqrt{a_r} \end{bmatrix} & 0 \\ y & 0 & [b] \end{matrix} \end{aligned} \quad (26)$$

$$\begin{aligned} A_{xy} &= \begin{matrix} x & y & t \\ y & \begin{bmatrix} 1 & s_r & 0 \\ 0 & 1 & 0 \\ 0 & 0 & [1] \end{bmatrix} & \\ t & 0 & \end{matrix} \\ A_{yt} &= \begin{matrix} x & y & t \\ y & \begin{bmatrix} [1] & 0 & 0 \\ 0 & [1] & s_r \\ 0 & 0 & 1 \end{bmatrix} & \\ t & 0 & \end{matrix} \\ A_{xt} &= \begin{matrix} x & y & t \\ t & \begin{bmatrix} 1 & s_r & 0 \\ 0 & 1 & 0 \\ 0 & 0 & [1] \end{bmatrix} & \\ y & 0 & \end{matrix} \end{aligned} \quad (27)$$

که در آن  $r \in \{xy, xt, yt\}$  و  $a_r \in \mathbb{R}^*$  و  $s_r \in \mathbb{R}$  است. در شکل (۳) نمونه ورودی (داده سه‌بعدی) و نمونه‌های از برش‌های دوبعدی از داده سه‌بعدی ورودی منتظر با تجزیه‌های مختلف از ماتریس اتساع در هر تحلیل نشان داده شده است.

نتایج تجربی نشان می‌دهد که تبدیل قیچک قطعه‌ای بازنمایی پراکنده را برای ویدئوهای ساده می‌تواند ایجاد کند. در ادامه با استفاده از تبدیل قیچک قطعه‌ای پیشنهادی، یک روش رفع نویه بر اساس آستانه‌گذاری سخت ارائه می‌کنیم. در اینجا آستانه‌گذاری سخت به عنوان ساده‌ترین مدل آستانه‌گذاری برای نشان دادن قدرت استفاده شده است. در روش ارائه شده، هدف بازیابی تصویر ویدئویی  $f$  از سیگنال نویه‌ای ورودی  $z$  است، که در آن نویه به صورت نویه گاوسی جمع شده فرض شده است. مراحل الگوریتم به شرح زیر است:

فصلنامه

$$SSIM(x, y) = \frac{(2\mu_x\mu_y + c_1)(2\sigma_{xy} + c_2)}{(\mu_x^2 + \mu_y^2 + c_1)(\sigma_x^2 + \sigma_y^2 + c_2)} \quad (33)$$

که در آن  $\mu_x$  میانگین تصویر  $x$  و  $\mu_y$  میانگین تصویر  $y$ ،  $\sigma_x^2$  واریانس تصویر  $x$ ،  $\sigma_y^2$  واریانس تصویر  $y$  و  $\sigma_{xy}$  کوواریانس تصاویر  $x$  و  $y$  و  $c_1$  و  $c_2$  ثابت‌های معادله جهت‌جلوگیری از تقسیم بر صفر است.

داده ویدئوی سبعدی را با اندازه  $192 \times 192$  در نظر بگیرید. برای مقایسه بهتر هر دو روش، کلیه تنظیمات اعم از تعداد سطوح تجزیه، تعداد برش‌ها در هر سطح یکسان در نظر گرفته می‌شود. برای این ویدئو تجزیه سه‌سطحی در نظر گرفته شده است که تعداد جهت‌های پایه در باندهای میانی به ترتیب  $n = 4, 4, 8$  است؛ بنابراین برای تبدیل قیچک کلاسیک سه‌بعدی با توجه به اینکه تعداد جهت‌ها به صورت ترکیبی ساخته می‌شود، تعداد آن‌ها به ترتیب  $n = 16, 16, 64$  است. همچنین تعداد ضرایب تولیدشده در پردازش بر اساس رابطه زیر محاسبه می‌شود:

$$2 \times (64 \times N^3 + 16 \times N^3 + 16 \times N^3) + N^3 = 193 \times N^3 \quad (34)$$

که در رابطه بالا  $N^3$  اندازه ویدئو است.

همان‌طور که در قبل نیز بیان شد با توجه به اینکه در این تبدیل تجزیه سطوح بدون مرحله زیرنمونه‌گیری انجام می‌گیرد، درنتیجه تعداد ضرایب با توجه به سطح مقیاس ثابت است. در تبدیل قیچک قطعه‌ای برای قطعه  $2 \times 2$  قیچک تعداد جهت‌ها را یکسان در نظر گرفته و به ترتیب  $n = 4, 4, 8$  است و برای قطعه  $1 \times 1$  موجک یک سطح تجزیه را در نظر می‌گیریم؛ بنابراین تعداد ضرایب بر اساس رابطه زیر محاسبه می‌شود.

$$(3+1) \times (8 \times N^3 + 4 \times N^3 + 4 \times N^3) + 3 \times N^3 = 67 \times N^3 \quad (35)$$

که در رابطه بالا  $N^3$  اندازه ویدئو است.

همان‌طور که ملاحظه می‌کنید، از نظر حافظه‌ای و محاسبه ضرایب تبدیل قیچک قطعه‌ای، کاهش قابل توجهی در حدود 64% نسبت به تجزیه قیچک کلاسیک دارد. لازم به ذکر است، تعداد جهت‌ها در باندهای میانی و تعداد سطوح تجزیه با اندازه ویدئوی ورودی و اندازه تکیه‌گاه قیچک رابطه مستقیم دارد و هرچه اندازه ویدئو بزرگ‌تر باشد، درنتیجه تعداد جهت‌های باند میانی و تعداد سطوح نیز بیشتر می‌شود؛

که در آن  $\omega_r$  ضریب وزن دهی است که تعیین کننده اهمیت هر قطعه در بازسازی هر پیکسل است و بر اساس پراکندگی ضرایب در قطعه متناظر به دست می‌آید:

$$\omega_r = \frac{\sum_r c_r^*(y)}{\|c_r^*(y)\|_0} \quad (31)$$

ضریب  $|c_r^*(y)|_0$  برابر تعداد عناصر غیر صفر از  $(y)$  و  $c_r^*$  برابر ۲ است.

از آن جایی که در هرسه تحلیل برای تجزیه‌های مختلف از ماتریس اتساع، اندازه قطعه‌ها یکسان هستند، بنابراین بانک‌های فیلتر متناظر نیز یکسان خواهند بود. درنتیجه با پیش محاسبه و ذخیره یک بانک فیلتر، برای تمام قطعه‌های قیچک آن استفاده می‌توان کرد و سرعت الگوریتم را بهبود بیشتری بخشد.

## ۵- نتایج تجربی

تبدیل قیچک از لحاظ نظری قابلیت گسترش برای پردازش سیگال‌های چندبعدی را دارد، بدینصورت که برای هر داده‌ای با  $n$  بعد تبدیل مستقیم قیچک که تمامی ویژگی‌های و خاصیت‌های تبدیل قیچک دو بعدی را دارد، ساخته می‌شود. ولی در عمل با توجه به پیچیدگی‌های ساختاری تبدیل استفاده از آن امکان‌پذیر نیست. از طرف دیگر عنوان شد که تبدیل قیچک قطعه‌ای راه حلی جایگزین برای موازنۀ بهتر میان عملکرد و هزینه اجرای سامانه است. برای بررسی دقیق‌تر این موازنۀ ارزیابی عملکرد دو روش را باهم به جزئیات بررسی می‌کنیم.

معیارهای اصلی در نظر گرفته شده در ارزیابی به دو گروه اصلی تقسیم می‌شود. نخستین دسته معیارهای پیچیدگی محاسباتی و حافظه‌ای سامانه در زمان اجرا و دسته دوم معیارهای بهبود تصویر بر اساس PSNR<sup>۱</sup> و SSIM<sup>۲</sup> می‌باشد. معیار PSNR بر اساس مقیاس لگاریتمی دسی‌بل بازگو و براساس رابطه زیر تعریف می‌شود:

$$PSNR = 20 * \log_{10} \left( \frac{MAX_f}{MSE} \right) \quad (32)$$

که در آن  $MAX_f$  بیشترین مقدار سیگنال داده و میانگین مربعی خطأ است. معیار SSIM نیز خرایی تصویر را با توجه به ساختار اطلاعاتی<sup>۳</sup> در نظر می‌گیرد و بهصورت زیر تعریف می‌شود:

<sup>1</sup> Pick Signal-to-Noise Ratio

<sup>2</sup> Structural SIMilarity

<sup>3</sup> Structural Information

برای مقایسه بیشتر عملکرد دو تبدیل قیچک قطعه‌ای و قیچک کلاسیک برای داده ویدئوی با اندازه  $192 \times 192$  (192) عملکرد حافظه‌ای و زمانی دو روش را بررسی می‌کنیم. همان‌طور که در معادله‌های (۳۴) و (۳۵) بیان شد، با مشخصات ذکر شده برای قیچک پایه برای قیچک کلاسیک افزونگی داده برابر  $N^3$  بوده و برای قیچک قطعه‌ای برابر  $N^3 \times 67$  است؛ بنابراین با توجه به اینکه نرم‌افزار متلب برای نوع داده دابل<sup>۲</sup> تعداد هشت بایت را در نظر می‌گیرد، درنتیجه برای ویدئوی مورد اشاره تبدیل قیچک کلاسیک در زمان اجرا نیازمند حدود 11GB حافظه رم است؛ در حالی که در اجرای تبدیل قیچک قطعه‌ای حدود 4GB حافظه رم مورد نیاز است.

نکته حائز اهمیت این است که برای ویدئو با اندازه  $192 \times 192$  (192) که از نظر اندازه تصویر و تعداد فریم در برابر ویدئوهای امروزی ناچیز است، در زمان اجرای الگوریتم تبدیل قیچک کلاسیک با توجه به حجم بالای حافظه موردنیاز در بیشتر موقع سامانه با مشکل حافظه مجازی و کندشدن مواجه شده و در عمل اجرای الگوریتم را غیرممکن می‌کند. راه جایگزین برای این مشکل اجرای مرحله‌ای تبدیل است؛ بدین معنی که کل سطح‌های تجزیه و برش‌ها همزمان اجرانشده و به صورت مرحله و سری اجرا شوند تا حافظه رم مورد نیاز در زمان اجرا کاهش‌یابد که این خود منجر به افزایش چندبرابری زمان اجرا می‌شود. جدول (۲) زمان‌های اجرای روش‌های اشاره‌شده بر روی داده سه‌بعدی مورد بحث را نشان می‌دهد. لازم به ذکر است تبدیل سطحک (ردیف نخست جدول (۲) جزو گروه تبدیل‌های وقفی بوده و زمان اشاره‌شده مربوط به مرحله رفع نویه است و در خصوص زمان مورد نیاز برای انتخاب لغتنامه اشاره نشده است.

(جدول-۲): مقایسه زمان‌های اجرا از تبدیل‌های سه‌بعدی مختلف. \* باز چاپ شده از [۶].

(Table-2): Comparison of running times for different 3D transforms. \* reprinted from [6]

Algorithm	Running time (data size: $192^3$ )
SURF *	34 sec
3DSHEAR	263 sec
3DSHEAR Serial Computing	825 sec
2DSHEAR	154 sec
3D DWT	7.5 sec
BST	168 sec

<sup>2</sup> Double

پس بنابراین، این نسبت کاهش میان تعداد ضرایب تبدیل قیچک کلاسیک و تبدیل قیچک قطعه‌ای بیشتر می‌شود. برای مثال اگر اندازه ویدئو دوباره شده و برابر با  $384 \times 384$  (384) انتخاب شود، برای اینکه قادر باشیم اطلاعات ساختاری فایل ورودی را تاحد قابل قبولی استخراج کنیم، بایستی دست کم پنج سطح تجزیه با تعداد قیچک  $n = 4,4,8,8,16$  را در نظر بگیریم. درنتیجه تعداد ضرایب تولیدشده در قیچک سه‌بعدی کلاسیک برابر  $N^3 \times 833$  و برای تبدیل قیچک قطعه‌ای  $N^3 \times 163$  است. بنابراین برای این اندازه ویدئو در حدود 80% نرخ کاهش ضرایب داریم، که این خود گواهی بر ادعای قابلیت کنترل افزایش افزونگی است.

برای مقایسه با سایر روش‌های موجود، از سه نمونه تصاویر ویدئویی به نامهای mobile و coastguard و tempeste با نویه‌های گاووسی  $\sigma = 30,40,50$  استفاده شده و همچنین تعداد برش‌های در سطح‌های مختلف از کمترین جزئیات به بیشترین بهترتب  $n = 4,4,8$  انتخاب شده است. جدول (۱) مقادیر PSNR به دست آمده از روش قیچک قطعه‌ای ارائه شده سه‌بعدی (BST) و سایر روش‌های موجود، تبدیل موجک گسسته (3D DWT) و تبدیل سطحک (SURF) را نشان می‌دهد. داده‌های جدول (۱) نشان می‌دهد که روش قیچک قطعه‌ای به طور کامل با سایر روش‌ها رقابت می‌کند و به طور خاص روش 2DSHEAR جدید در تمامی حالت‌های آزمایش از روش PSNR نزدیک عملکرد بهتری دارد و همچنین از نظر مقدار PSNR به روش 3DSHEAR ۳ است در حالی که از آن روش بسیار سریع‌تر است.

(جدول-۱): عملکرد الگوریتم‌های رفع نویه در سه ویدئوی متفاوت. \* باز چاپ شده از [۶].

(Table-1): Performance of denoising algorithm on 3 different videos. \* reprinted from [6]

PSNR (dB)	Mobile			Coastguard			Tempete		
	30	40	50	30	40	50	30	40	50
SURF *	28.39	27.18	26.27	26.82	25.87	25.15	24.2	23.26	22.61
3DSHEAR	29.49	27.93	26.74	27.99	26.72	25.77	25.87	24.51	23.52
2DSHEAR	25.43	23.97	22.92	24.62	23.33	22.42	22.36	21.19	20.43
3D DWT	24.93	23.94	23.03	24.34	23.44	22.57	22.09	21.5	20.92
BST	26.64	25.07	23.95	27.03	25.80	24.88	24.82	23.51	22.60

<sup>1</sup> Block Shearlet Transform

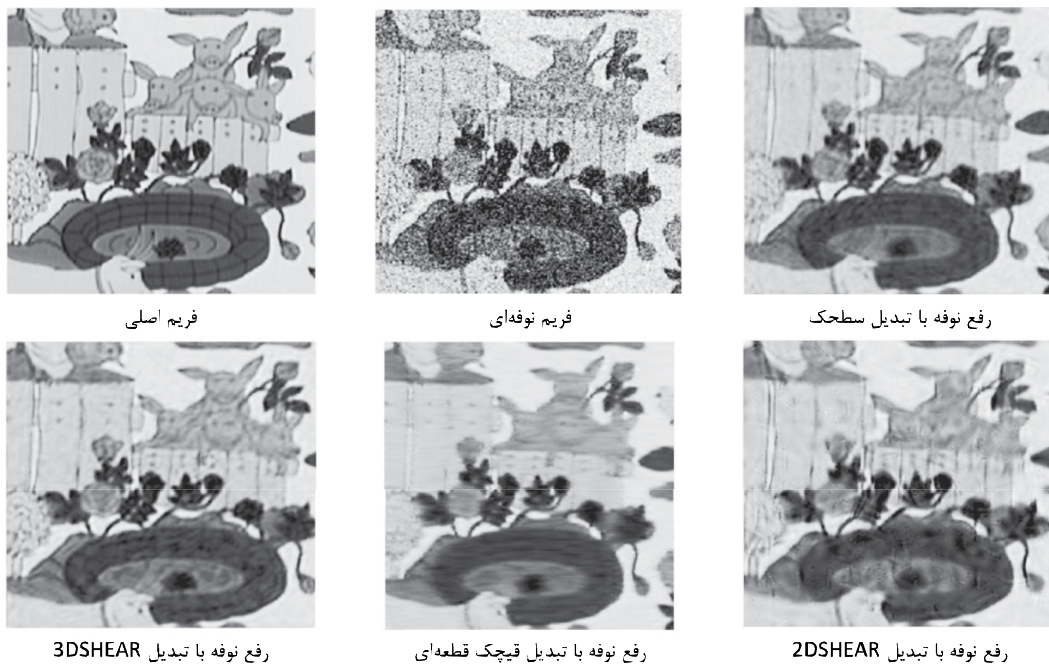
در جدول (۳) مقایسه کاملی براساس معیارهای PSNR و SSIM بین تبدیل قیچک سه بعدی کلاسیک 3DSHEAR، تبدیل قیچک دو بعدی که روی تک تک فریم های انجام شده است؛ 2DSHEAR و تبدیل قیچک قطعه ای BST برای ویدئوهای coastguard، miss america، tempete، salesman، mobile sequence نویفه ای گاووسی مختلف 50، 40، 30، 20، 10 جهت درک بهتر میزان عملکرد الگوریتم آورده شده است.

همان طور که در بند قبل برای زمان اجرای ذکر شده برای تبدیل قیچک کلاسیک اشاره شد، درواقع این زمان اجرای واقعی الگوریتم نیست؛ بلکه الگوریتم برای داده با اندازه کوچک تر  $64 \times 64$  اجرا شده است و سپس بر اساس نسبت حجم داده ها، زمان اجرا برای ویدئوی اصلی محاسبه شده است. همان طور که ملاحظه می کنید، در ردیف سه جدول (۲) زمان اجرای تبدیل قیچک به صورت مرحله ای جهت جلوگیری از مشکل حافظه رم آورده شده است که با زمان اجرای مدل اصلی اختلاف چند برابری دارد.

(جدول-۳): عملکرد الگوریتم های 2DSHEAR، 3DSHEAR و BST بر روی ویدئوهای متفاوت بر اساس معیارهای PSNR و SSIM  
(Table-3) Comparing performance of different video denoising method based on PSNR and SSIM.

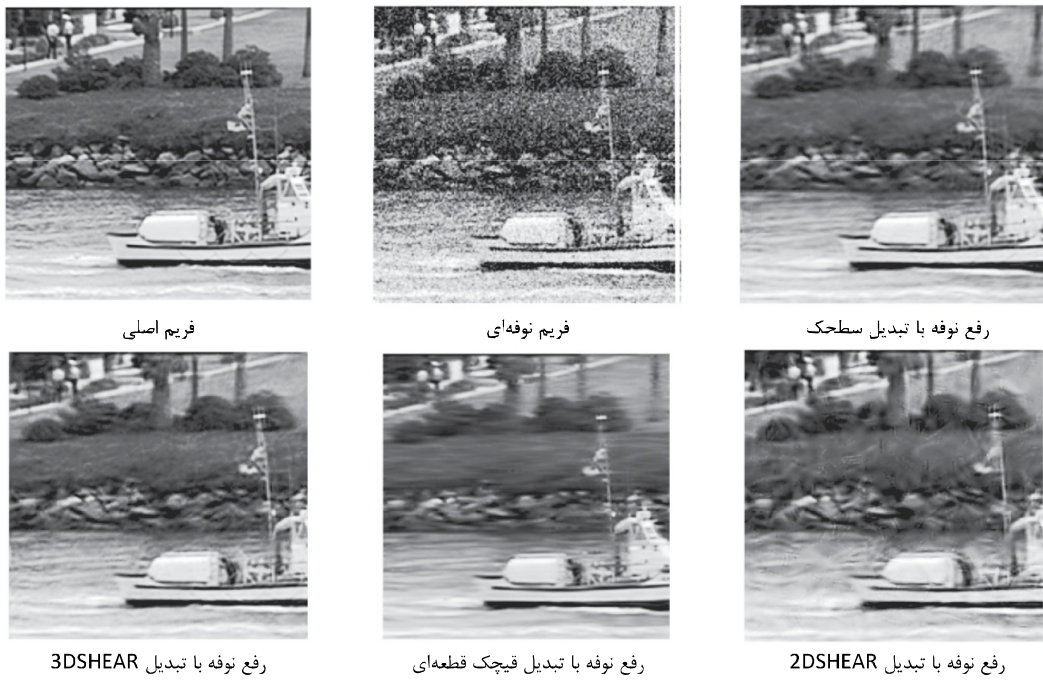
Video Sequence	Coastguard					Miss America					Mobile Sequence				
	10	20	30	40	50	10	20	30	40	50	10	20	30	40	50
PSNR Result															
3DSHEAR	33.36	29.84	27.99	26.72	25.77	36.32	33.55	31.85	30.57	29.51	35.49	31.70	29.49	27.93	26.74
2DSHEAR	30.43	26.61	24.62	23.33	22.42	34.11	30.93	29.05	27.75	26.77	31.91	27.68	25.43	23.97	22.92
BST	32.24	28.84	27.03	25.80	24.88	35.20	31.94	30.07	28.86	27.97	33.33	29.07	26.64	25.07	23.95
SSIM Result															
3DSHEAR	0.933	0.868	0.814	0.767	0.726	0.936	0.899	0.863	0.829	0.795	0.958	0.912	0.865	0.819	0.776
2DSHEAR	0.874	0.752	0.658	0.558	0.534	0.904	0.846	0.797	0.757	0.723	0.911	0.814	0.734	0.670	0.618
BST	0.913	0.838	0.779	0.729	0.686	0.920	0.861	0.810	0.768	0.730	0.932	0.853	0.775	0.706	0.647

Video Sequence	Salesman					Tempete					Tennis				
	10	20	30	40	50	10	20	30	40	50	10	20	30	40	50
PSNR Result															
3DSHEAR	36.36	33.29	31.37	29.94	28.82	32.05	27.98	25.87	24.51	23.52	33.40	30.15	28.56	27.51	26.73
2DSHEAR	32.20	28.57	26.63	25.41	24.59	29.04	24.44	22.36	21.19	20.43	30.67	28.69	27.57	26.61	25.79
BST	35.53	31.74	29.58	28.18	27.21	31.22	26.95	24.82	23.51	22.60	32.31	29.43	27.85	26.78	25.94
SSIM Result															
3DSHEAR	0.942	0.899	0.857	0.815	0.773	0.950	0.891	0.834	0.781	0.733	0.844	0.712	0.639	0.591	0.555
2DSHEAR	0.877	0.776	0.696	0.635	0.588	0.903	0.766	0.649	0.560	0.496	0.686	0.599	0.570	0.549	0.529
BST	0.930	0.864	0.799	0.742	0.694	0.942	0.864	0.791	0.726	0.671	0.803	0.667	0.594	0.563	0.541



(شکل-۴): مقایسه عملکرد الگوریتم‌های رفع نویه مختلف برای ویدئو Mobile. از بالا سمت چپ: فریم اصلی، فریم نویه‌ای (با نویه  $\sigma = 30$ )، رفع نویه با تبدیل های سطحک، ۳DSHEAR، قیچک قطعه‌ای و ۲DSHEAR.

(Figure-4): A comparison of performance of denoising algorithms on Mobile video. From top left: Original frame, noised frame (with  $\sigma = 30$ ), a frame denoised by Surflet, a frame denoised by 3DSHEAR, a frame denoised by BST and A frame denoised by 2DSHEAR.



(شکل-۵): مقایسه عملکرد الگوریتم‌های رفع نویز مختلف برای ویدئو Coast Guard. از بالا سمت چپ: فریم اصلی، فریم نویه‌ای (با نویه  $\sigma = 30$ )، رفع نویه با تبدیل های سطحک، ۳DSHEAR، قیچک قطعه‌ای و ۲DSHEAR.

(Figure-5): A comparison of performance of denoising algorithms on Coast Guard video. From top left: Original frame, noised frame (with  $\sigma = 30$ ), a frame denoised by Surflet, a frame denoised by 2DSHEAR, a frame denoised by BST and A frame denoised by 3DSHEAR.

رابطه (۳۵) به صورت خطی (s) کاهش یافته و برای داده با ابعاد بالاتر نیز با فرض درنظر گرفتن زیرفضاهای با ابعاد محدود شده به صورت خطی است. به طور خلاصه، تبدیل قیچک قطعه‌ای از لحاظ عملکردی همان‌طور که نتایج جدول های (۱) و (۳) نشان می‌دهد، با اختلاف ناجیزی، پایین‌تر از تبدیل قیچک سه‌بعدی کلاسیک قرار دارد. در حالی که از لحاظ افزونگی و زمان اجرا براساس نتایج جدول (۲) مشابه با تبدیل قیچک دو‌بعدی عمل می‌کند.

همان‌طور که در قسمت الگوریتم پیاده‌سازی شده اشاره شد، در این مقاله بر اساس آستانه‌گذاری سخت عمل شده که ساده‌ترین روش آستانه‌گذاری و اعمال تغییرات روی ضرایب تبدیل است. با توجه به افزونه‌بودن این نوع تبدیل‌ها، برای به دست آوردن نتایج بهتر از روش‌های پیچیده مانند انتخاب و تغییر ضرایب بر اساس مدل‌سازی و یا آستانه‌گذاری‌های ترکیبی می‌توان استفاده کرد.

## 7- References

## ۷- مراجع

- [1] N. Kingsbury, "Adaptive Wavelet Thresholding for Image Denoising and Compression," *IEEE TRANSACTIONS ON IMAGE PROCESSING*, vol. 9, no. 9, pp. 1532-1546, 2000.
- [2] G. Gao, "Image denoising by non-subsampled shearlet domain multivariate model and its method noise thresholding," *Optik*, vol. 124, no. 22, pp. 5756-5760, 2013.
- [3] S. Hauser and G. Steidl, "Convex Multiclass Segmentation with Shearlet Regularization," *International Journal of Computer Mathematics*, vol. 90, no. 1, pp. 62-81, 2013.
- [4] S. Liu, S. Hu and Y. Xiao, "Image separation using wavelet-complex shearlet dictionary," *Journal of Systems Engineering and Electronics*, vol. 25, no. 2, pp. 314-321, 2014.
- [5] G. Easley, D. Labate and W. Q. Lim, "Sparse Directional Image Representations using the Discrete Shearlet Transform," *Applied and Computational Harmonic Analysis*, vol. 25, no. 1, pp. 25-46, 2008.
- [6] P. S. Negi and D. Labate, "3-D Discrete Shearlet Transform and Video Processing," *IEEE Transaction on Image Processing*, vol. 21, no. 6, pp. 2944-2954, 2012.
- [7] D. L. Donoho and M. R. Duncan, "Digital Curvelet Transform: Strategy, Implementation and Experiments," *Proc. SPIE 4056, Wavelet Applications VII*, pp. 12-29, 2000.

لازم به ذکر است، کلیه اعداد جدول (۳) از اجرای مستقیم الگوریتم‌ها به دست آمده است. همان‌طور که در این جدول نیز مشاهده می‌کنید، تبدیل قیچک قطعه‌ای به طور میانگین  $2dB$  ای  $3dB$  از تبدیل قیچک دو‌بعدی در مقیاس PSNR بالاتر قرار دارد. از طرف دیگر اختلاف این روش در بیش‌تر موارد کمتر از  $1dB$  در مقایسه با تبدیل قیچک کلاسیک سه‌بعدی است. نتایج گواه این ادعا است که تبدیل قیچک قطعه‌ای از لحاظ عملکرد، بسیار نزدیک به تبدیل قیچک کلاسیک سه‌بعدی عمل می‌کند؛ در حالی که از لحاظ میزان حافظه مورد نیاز و زمان اجرا در موقعیت بهتری قرار دارد.

در شکل‌های (۴) و (۵) یک فریم نمونه از تصاویر ویدئویی mobile و coastguard انتخاب شده است و عملکرد بصری روش‌های قیچک قطعه‌ای و قیچک دو‌بعدی و سه‌بعدی در مسئله رفع نویفه مقایسه شده است. همان‌طور که در این دو شکل مشاهده می‌کنید، در تصاویر حاصل از تبدیل قیچک دو‌بعدی اثرات مصنوعی<sup>۱</sup> حاصل از رفع نویفه قبل مشاهده است، که در تبدیل قیچک قطعه‌ای مشابه با تبدیل قیچک کلاسیک سه‌بعدی این اثرات به طور تقریبی رفع شده است. همچنین کیفیت بصری رفع نویفه در تبدیل قیچک قطعه‌ای بهوضوح بسیار بهتر از تبدیل قیچک دو‌بعدی و همتراز با تبدیل قیچک کلاسیک و تبدیل سطحک است.

## ۶- نتیجه‌گیری

در این مقاله، رهیافتی نوین برای موازنۀ بهتر میان پیچیدگی داده ناشی از رابطه بین بعدی و عملکرد قبل قبول الگوریتم ارائه شد. تبدیل قیچک قطعه‌ای با درنظر گرفتن زیرفضاهایی با ابعاد کمتر از ابعاد اصلی داده، مشکل رشد نمایی افزونگی داده و به تبع آن مشکل پیچیدگی حافظه‌ای زمانی تبدیل قیچک کلاسیک را حل کرده و قادر به کنترل افزونگی داده به صورت خطی است. مزیت اصلی تبدیل قیچک قطعه‌ای افزونگی کمتر در مقایسه با تبدیل قیچک کلاسیک است که منجر به پیچیدگی محاسباتی، حافظه‌ای و زمان اجرا کمتر می‌شود.

به بیان دیگر عامل تعداد برش در تبدیل قیچک کلاسیک برای داده سه‌بعدی همان‌طور که در رابطه (۳۴) نیز بیان شد، نمایی از دو ( $s^2$ ) است و به همین ترتیب برای داده چهار بعدی نمای از سه ( $s^3$ ) و ... است. در حالی که این عامل برش در تبدیل قیچک قطعه‌ای برای داده سه‌بعدی متناظر با

<sup>۱</sup> Artifact



**احمد هراتی** استادیار دانشکده مهندسی کامپیوتر دانشگاه فردوسی مشهد است. نایبرده تحصیلات خود را در مدرک کارشناسی ارشد در سال ۲۰۰۳ از دانشگاه تهران دریافت کرده و مدرک دکتراخود را از دانشگاه ETHZ سوئیس در سال ۲۰۰۸ اخذ کرده است. زمینه‌های پژوهشی مورد علاقه ایشان عبارتند از: بینایی سمعی، ریات، مدل‌ها و تخمین‌های احتمالاتی. نشانی رایانمای ایشان عبارت است از:

a.harati@um.ac.ir



**زهراء امیری** مدرک دکتراخود را از دانشگاه فردوسی مشهد در سال ۱۳۹۶ اخذ کرده است. زمینه‌های پژوهشی مورد علاقه ایشان عبارتند از: تحلیل هارمونیک، قیچک و کاربرد آن‌ها در پردازش تصویر. نشانی رایانمای ایشان عبارت است از:

za\_am10@stu.um.ac.ir



**رجعلی کامیابی گل** استاد دانشکده علوم ریاضی دانشگاه فردوسی مشهد است. نایبرده مدرک کارشناسی ارشد خود را در سال ۱۳۶۷ از دانشگاه فردوسی مشهد دریافت کرده و مدرک دکتراخود را از دانشگاه آبرتا کانادا در سال ۱۳۷۵ اخذ کرده است. زمینه‌های پژوهشی مورد علاقه ایشان عبارتند از: تحلیل هارمونیک کاربردی در زمینه‌های موجک و قیچک و کاربرد آن‌ها. نشانی رایانمای ایشان عبارت است از:

kamyabi@um.ac.ir

- [8] E. J. Candes and D. L. Donoho, "New tight frames of curvelets and optimal representation of objects with piecewise  $C^2$  singularities," *Comm. Pure and Appl. Math.*, vol. 56, pp. 216-266, 2004.

- [9] E. J. Candes, L. Demanet, D. L. Donoho and L. Ying, "Fast Discrete Curvelet Transforms," *SIAM Multiscale Model. Simul.*, vol. 5, no. 3, pp. 861-899, 2006.

- [10] A. Lisowska, *Geometrical Multiresolution Adaptive Transforms: Theory and Applications*, Springer International Publishing, 2014.

- [11] J. L. Strack, F. Murtagh and J. M. Fadili, *Sparse Image and Signal Processing*, Cambridge University Press, 2010.

- [12] M. N. Do and M. Vetterli, "The finite ridgelet transform for image representation," *IEEE Transactions on Image Processing*, vol. 12, no. 1, pp. 16-28, 2003.

- [13] J. Ma and G. Plonka, "A review of curvelets and recent applications," *IEEE Signal Processing Magazine*, 2009.

- [14] D. Labate, W. Q. Lim, G. Kutyniok and G. Weiss, "Sparse multidimensional representation using shearlets," *Wavelets XI, Proceedings of the SPIE*, pp. 254-262, 2005.

- [15] S. Yi, D. Labate, G. R. Easley and H. Krim, "A Shearlet Approach to Edge Analysis and Detection," *IEEE Transaction on Image Processing*, vol. 18, no. 5, pp. 929 - 941, 2009.

- [16] S. Dahlke and G. Teschke, "The continuous shearlet transform in higher dimensions: variations of a theme," *Group Theory: Classes, Representation and Connections, and Applications*, vol. 1, pp. 167-175, 2010.

- [17] P. Grohs and G. Kutyniok, "Parabolic molecules," *Foundations of Computational Mathematics*, vol. 14, no. 2, pp. 229-337, 2013.

- [18] P. Grohs, S. Keiper, G. Kutyniok and M. Schafer, " $\alpha$ -Molecules," in *Seminar for Applied Mathematics*, 2014.



**حجت باقرزاده حسین آباد** مدرک کارشناسی ارشد خود را در سال ۱۳۹۵ در رشته کامپیوتر-هوش مصنوعی از دانشگاه فردوسی مشهد دریافت کرده است. موضوع پایان‌نامه ایشان، حذف نویه تصویر و ویدئو توسط تبدیل قیچک قطعه‌ای بوده است.

نشانی رایانمای ایشان عبارت است از:  
hojjat.bagherzadehhosseiniabad@stu.um.ac.ir